

① Der beschriebene Ladungsanordnung kann erzeugt werden, indem jeweils jede Ladung aus dem Unendlichen zur Position \vec{r}_i gebracht wird. Hierfür wird die Arbeit $W_i = \int_{\infty}^{\vec{r}_i} q_i \vec{E} d\vec{s}$ aufgewandt.

Da es sich um eine unendliche Kette handelt, müssen wir nur die Arbeit betrachten, die verbraucht werden muss, um eine Ladung aus unendlicher Kette hinzuzufügen. Außerdem gilt $\vec{J} \times \vec{E} = 0 \Rightarrow W_i = \int_{\infty}^{\vec{r}_i} q_i \vec{E} d\vec{s} = q_i \phi(r_i) - q_i \underbrace{\phi(\infty)}_{\phi(\pm\infty) = 0}$

Die Arbeit entspricht also der potentiellen Energie der Ladung q_0 bei \vec{r}_0 .

$$q_1: \phi_1 = \frac{1}{4\pi\epsilon_0} \frac{q_1}{|\vec{r} - \vec{r}_1|}$$

$$q_2 \text{ nach } r_2: W_2 = q_2 \phi_1(r_2) = \frac{1}{4\pi\epsilon_0} \frac{q_1 q_2}{|\vec{r}_2 - \vec{r}_1|} \quad \vec{r}_i = i a \hat{e}_x \quad q_i = (-1)^i q \quad +4$$

Allgemein ergibt sich für q_{-n} bis q_n : Woher kommt das? -2

$$\phi(x) = \frac{1}{4\pi\epsilon_0} / 2 \sum_{i=-n}^n \frac{q_i}{|x \hat{e}_x - i a \hat{e}_x|} = \frac{q}{4\pi\epsilon_0} \left[\sum_{i=1}^N \frac{(-1)^{-i}}{|x - a i|} + \sum_{i=1}^N \frac{(-1)^i}{|x - a i|} \right] = \frac{q}{4\pi\epsilon_0} \sum_{i=1}^N \frac{(-1)^i}{|x - a i|}$$

+1

$$\text{Es existiert die Potenzreihe } \ln(1+x) = \sum_{k=1}^{\infty} \frac{(-1)^{k+1}}{k} x^k$$

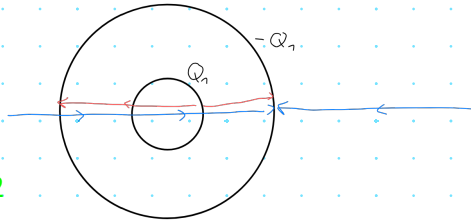
$$\ln(1+x; 0) = 0 + x - \frac{x^2}{2} + \frac{x^3}{3} - \frac{x^4}{4} + \frac{x^5}{5} - \mathcal{O}(x^6), \text{ mit } x=1: \ln(2) = 1 - \frac{1}{2} + \frac{1}{3} - \frac{1}{4} + \frac{1}{5} - \mathcal{O}(1)$$

$$\text{und wir können schreiben: } W_0 = q_0 \phi(r_0) = \frac{q^2}{4\pi\epsilon_0} \sum_{i=1}^n \frac{(-1)^i}{a_i}, n \rightarrow \infty$$

$$= - \frac{q^2}{4\pi\epsilon_0 a} \ln(2) \quad \text{VZF & Koeff.F} \quad -1-1$$

6 P / 10 P

- ② a) Da die innere und die äußere Kugelschale beträchtlich gleiche, aber vom Volumen verschiedene Ladung haben, heben sich die Feldlinien im Inneren von S_1 auf (vgl. Skizze). +2



(zwischen S_1 und S_2 ergänzen sie sich und außerhalb von S_2 heben sie sich ebenfalls auf)

$$b) \sigma_i = \frac{Q_i}{A_i} \quad A_i = 4\pi R_i^2$$

$$\sigma_1 = \frac{Q_1}{4\pi R_1^2} \quad \sigma_2 = -\frac{Q_1}{4\pi R_2^2} \quad +3$$

$$c) \int_V \vec{E}(\vec{r}) dV = \int_S E dA = \frac{1}{\epsilon_0} \int_V \rho(r) dV$$

Das Integrationsvolumen ist eine Kugel mit Radius r , dessen Ursprung mit der Mitte des Kondensators zusammenfällt.
Aus Symmetriegründen gilt $\vec{E}(r) = E \hat{e}_r$
(Kugelsymmetrie)

mit $\rho(r) = \frac{Q_1}{4\pi r^2 \epsilon_0} \delta(r-R_1) - \frac{Q_1}{4\pi r^2 \epsilon_0} \delta(r-R_2)$ folgt:

$$\int_0^{2\pi} \int_0^\pi E r^2 \sin \theta d\theta d\varphi = \frac{1}{\epsilon_0} \int_V \frac{Q_1}{4\pi r^2 \epsilon_0} \delta(r-R_1) - \frac{Q_1}{4\pi r^2 \epsilon_0} \delta(r-R_2) dV$$

$$E 2\pi r^2 [-\cos \theta]_0^\pi = E 4\pi r^2. \text{ Wir müssen jetzt drei Fälle betrachten:}$$

$r < R_1 (< R_2)$:

$$E 4\pi r^2 = \frac{1}{\epsilon_0} \underbrace{\int_V \frac{Q_1}{4\pi r^2} \delta(r-R_1) - \frac{Q_1}{4\pi r^2} \delta(r-R_2)}_{=0} dV = E(r) = 0$$

$R_1 < r < R_2$:

$$E 4\pi r^2 = \frac{1}{\epsilon_0} \int_V \frac{Q_1}{4\pi r^2} \delta(r-R_1) - \frac{Q_1}{4\pi r^2} \delta(r-R_2) dV$$

$$= \frac{Q_1}{4\pi r^2 \epsilon_0} \int_{-\infty}^{\infty} \delta(r-R_1) r^2 dr \int_0^\pi d\varphi \int_0^\pi \sin \theta d\theta$$

$$= \frac{Q_1}{4\pi r^2 \epsilon_0} R_1^2 \cdot 4\pi$$

$$\int_{-\infty}^{\infty} \delta(r-R_1) f(r) dr = f(R_1) \quad \text{mit } f(r) = r^2$$

$$\Rightarrow E(r) = \frac{Q_1}{4\pi\epsilon_0 r^2}$$

$r > R_2$:

$$E + 4\pi r^2 = \frac{1}{\epsilon_0} \int_V \frac{Q_1}{4\pi R_1^2} \delta(r-R_1) - \frac{Q_1}{4\pi R_2^2} \delta(r-R_2) dV = E(r) = 0$$

$$= \frac{1}{\epsilon_0} \int_{-\infty}^{\infty} \left(\frac{Q_1}{4\pi R_1^2} \delta(r-R_1) - \frac{Q_1}{4\pi R_2^2} \delta(r-R_2) \right) r^2 \int_0^{2\pi} d\varphi \int_0^{\pi} \sin\theta d\theta$$

$$= 0$$

$$\Rightarrow E(r) = 0$$

Insgesamt gilt also $\vec{E}(r) = \begin{cases} 0, & r < R_1 \\ \frac{Q_1}{4\pi\epsilon_0 r^2}, & R_1 < r < R_2 \quad \hat{e}_r \\ 0, & r > R_2. \end{cases}$

\checkmark +5

d) $\phi(\vec{r}) = - \int_{\infty}^r \vec{E} dr'$

$r \geq R_2$: $\phi(\vec{r}) = - \int_{\infty}^r 0 dr' = 0$ +1

$R_1 < r < R_2$: $\phi(\vec{r}) = - \int_{\infty}^{R_2} E dr' - \int_{R_2}^r E dr' = - \int_{R_2}^r \frac{Q_1}{4\pi\epsilon_0 r'^2} dr'$

$$= - \frac{Q_1}{4\pi\epsilon_0} \left[-\frac{1}{r'} \right]_{R_2}^r = - \frac{Q_1}{4\pi\epsilon_0} \left[-\frac{1}{r} + \frac{1}{R_2} \right]$$

$$= \frac{Q_1}{4\pi\epsilon_0} \left(\frac{1}{r} - \frac{1}{R_2} \right)$$

+1

$r \leq R_1$: $\phi(\vec{r}) = \int_{\infty}^{R_1} E dr' - \int_{R_1}^{R_2} E dr' - \int_{R_2}^0 E dr' = 0$

$$= - \int_{\infty}^{R_1} \frac{Q}{4\pi\epsilon_0 r^2} dr = - \left[-\frac{Q}{4\pi\epsilon_0 r} \right]_{R_2}^{R_1}$$

$$= - \frac{Q}{4\pi\epsilon_0} \left[-\frac{1}{R_1} + \frac{1}{R_2} \right] = \frac{Q}{4\pi\epsilon_0} \left(\frac{1}{R_1} - \frac{1}{R_2} \right)$$

+2
+1

e) Siehe Anhang! +4

f) $Q_i = \sum_{j=1}^N C_{ij} \phi_j$ mit Kapazitätsmatrix C und $N=2$:

$$Q_1 = \sum_{j=1}^2 C_{1j} \phi_j = C_{11} \phi_1 + C_{12} \phi_2 = C_{11} \phi(R_1) + C_{12} \underbrace{\phi(R_2)}_{=0}$$

$$= C_{11} \frac{Q_1}{4\pi\epsilon_0} \left(\frac{1}{R_1} - \frac{1}{R_2} \right)$$

$$\Leftrightarrow C_{11} = \frac{4\pi\epsilon_0}{\left(\frac{1}{R_1} - \frac{1}{R_2} \right)} \quad \text{+6}$$

$$Q_2 = \sum_{j=1}^2 C_{2j} \phi_j = C_{21} \phi_1 + C_{22} \phi_2 = C_{21} \phi(R_2) + C_{22} \phi(R_1)$$

$$-Q_2 = C_{21} \frac{Q_2}{4\pi\epsilon_0} \left(\frac{1}{R_2} - \frac{1}{R_1} \right)$$

$$\Leftrightarrow C_{21} = \boxed{-} \frac{4\pi\epsilon_0}{\left(\frac{1}{R_2} - \frac{1}{R_1} \right)}$$

Frag deinen Tutor, warum C_{ij} symmetrisch ist!

25 P / 25 P

$$(3) \quad \vec{\nabla}^2 \phi = -\frac{1}{\epsilon_0} q \delta(x-d) \delta(y) \delta(z), \quad x > 0$$

$$\phi(\vec{r}) \Big|_{x=0} = 0$$

$$\phi_p(\vec{r}) = \frac{q}{4\pi\epsilon_0} \frac{1}{\sqrt{(x-d)^2 + y^2 + z^2}}$$

$$a) \quad \phi_p(\vec{r}) \Big|_{x=0} = \frac{q}{4\pi\epsilon_0} \frac{1}{\sqrt{d^2 + y^2 + z^2}} \neq 0 \quad +y_1z \quad +1$$

$$b) \quad \vec{E}_p(\vec{r}) = \frac{-q}{4\pi\epsilon_0} \frac{\vec{r} - \vec{r}_1}{|\vec{r} - \vec{r}_1|^3} \quad \vec{r} = x\hat{e}_x + y\hat{e}_y + z\hat{e}_z \\ \vec{r}_1 = -d\hat{e}_x \\ = \frac{-q}{4\pi\epsilon_0} \frac{(x+d)\hat{e}_x + y\hat{e}_y + z\hat{e}_z}{\sqrt{(x+d)^2 + y^2 + z^2}^3}$$

$$\begin{aligned} \phi_B(\vec{r}) &= \frac{q}{4\pi\epsilon_0} \int \frac{(x+d)\hat{e}_x + y\hat{e}_y + z\hat{e}_z}{\sqrt{(x+d)^2 + y^2 + z^2}^3} \hat{e}_x dx \\ &= -\frac{q}{4\pi\epsilon_0} \int_{\infty}^r \frac{x+d}{\sqrt{(x+d)^2 + y^2 + z^2}^3} dx = -\frac{q}{4\pi\epsilon_0} \left[-\frac{1}{\sqrt{(x+d)^2 + y^2 + z^2}} \right]_{\infty}^r \\ &= \frac{q}{4\pi\epsilon_0} \frac{1}{\sqrt{(x+d)^2 + y^2 + z^2}} \end{aligned}$$

$$\vec{\nabla}^2 \phi_B \stackrel{!}{=} 0 \quad (\text{hom. L\"osung})$$

$$\begin{aligned} &= \partial_x^2 \phi_B + \partial_y^2 \phi_B + \partial_z^2 \phi_B = \frac{q}{4\pi\epsilon_0} \left[\partial_x \frac{-(x+d)}{\sqrt{(x+d)^2 + y^2 + z^2}^3} + \partial_y \frac{-y}{\sqrt{(x+d)^2 + y^2 + z^2}^3} + \partial_z \frac{-z}{\sqrt{(x+d)^2 + y^2 + z^2}^3} \right] \\ &= \frac{q}{4\pi\epsilon_0} \left[\frac{3(x+d)^2}{\sqrt{(x+d)^2 + y^2 + z^2}^5} - \frac{1}{\sqrt{(x+d)^2 + y^2 + z^2}^3} + \frac{3y^2}{\sqrt{(x+d)^2 + y^2 + z^2}^5} \right. \\ &\quad \left. - \frac{1}{\sqrt{(x+d)^2 + y^2 + z^2}^3} + \frac{3z^2}{\sqrt{(x+d)^2 + y^2 + z^2}^5} - \frac{1}{\sqrt{(x+d)^2 + y^2 + z^2}^3} \right] \end{aligned}$$

$$= \frac{q}{4\pi\epsilon_0} \left[3 \underbrace{\frac{((x+d)^2 + y^2 + z^2)}{((x+d)^2 + y^2 + z^2)^{\frac{5}{2}}} - \frac{3}{\sqrt{(x+d)^2 + y^2 + z^2}^3}}_{=0} \right] = 0$$

$\Rightarrow \phi_B$ ist eine homogene L\"osung der Poisson-Gleichung. +1

$$c) \quad \phi = \phi_p \quad \phi_n = \frac{q}{4\pi\epsilon_0} \frac{1}{\sqrt{(x-a)^2 + y^2 + z^2}} - \frac{q}{4\pi\epsilon_0} \frac{1}{\sqrt{(x+d)^2 + y^2 + z^2}}$$

$$\phi_p + \phi_n \Big|_{x=0} = \frac{q}{4\pi\epsilon_0} \left[\frac{1}{d^2 + y^2 + z^2} - \frac{1}{(d^2 + y^2 + z^2)} \right] = 0$$

und erfüllt somit die Dirichlet-Randbedingung. +4

d) Das elektrische Feld im Halbraum $x > 0$ verhält sich wie die Summe von \vec{E}_p und \vec{E}_{real}

$$\vec{E}(\vec{r}) = \frac{q}{4\pi\epsilon_0} \left[\frac{(x-d)\hat{e}_x + y\hat{e}_y + z\hat{e}_z}{\sqrt{(x-d)^2 + y^2 + z^2}^3} - \frac{(x+d)\hat{e}_x + y\hat{e}_y + z\hat{e}_z}{\sqrt{(x+d)^2 + y^2 + z^2}^3} \right], \quad x > 0$$
+3

$$\lim_{x \rightarrow 0^+} \vec{E}(\vec{r}) = \frac{q}{4\pi\epsilon_0} \left[\frac{-d\hat{e}_x + y\hat{e}_y + z\hat{e}_z}{\sqrt{d^2 + y^2 + z^2}^3} - \frac{d\hat{e}_x + y\hat{e}_y + z\hat{e}_z}{\sqrt{d^2 + y^2 + z^2}^3} \right]$$

$$= -\frac{q}{2\pi\epsilon_0} \frac{d}{\sqrt{d^2 + y^2 + z^2}^3} \hat{e}_x$$

Das E-Feld hat für $x \rightarrow 0^+$ nur eine \hat{e}_x -Komponente, es steht also dort senkrecht auf der Platte. +3

e) Die Metallplatte hat (ideal betrachtet) bewegliche Ladungen, die sich durch ein externes elektrisches Feld so verteilen, dass eine Oberflächenladung mit Oberflächenladungsdichte σ influenziert wird. Diese Oberflächenladung gleicht das elektrische Feld der (in unserem Fall) Punktladung aus. Es gilt also $\vec{E}(\vec{r})|_{x=0} = 0$ +4

f) Siehe Anhang! +8 VZF im E-Feld!

$$g) \quad \int_V \vec{\nabla} \cdot \vec{d} = d^3 r \stackrel{\text{S.v.}}{=} \int_{\partial V} \vec{E} \hat{n} d\sigma = \int_V \frac{\rho(\vec{r})}{\epsilon_0} d^3 r \quad \left| \begin{array}{l} \text{Wir integrieren über eine} \\ \text{Gaußsche Dose am Übergang zur} \\ \text{Metallplatte} \end{array} \right.$$

$$\cancel{\pi r^2 E_x} = \cancel{\pi r^2 \frac{\sigma}{\epsilon_0}} \Rightarrow \sigma = \epsilon_0 E_x \Rightarrow \sigma(\vec{r}) \Big|_{x=0} = -\frac{q}{2\pi} \frac{d}{\sqrt{d^2 + y^2 + z^2}} \quad +6$$

Skizze im Anhang!

Operator „Zeichnen“, nicht „Skizzieren“ -1

+1

VZF in der Ladung

$$h) \quad Q = \int_V \rho_{\text{int}}(\vec{r}) d^3 r = \int_{-\infty}^{\infty} \int_{-\infty}^{\infty} \int_{-\infty}^{\infty} \sigma(\vec{r}) \delta(x) dx dy dz$$

$$\Leftrightarrow -\frac{q}{2\pi} \int_0^{\infty} \int_0^{2\pi} d \theta \int_0^{\infty} \frac{r}{\sqrt{d^2 + r^2}} dr dy dz$$

$$= -q \int_0^{\infty} \frac{dr}{\sqrt{d^2 + r^2}} dr = -q \lim_{a \rightarrow \infty} \left[-\frac{d}{\sqrt{d^2 + r^2}} \right]_0^a$$

$$= -q \quad +4$$

- i) Wir können die Kraft, die auf die Punktladung als Coulombkraft zwischen der Punktladung und der Spiegelladung beschreiben:

$$\vec{F} = -\frac{q^2}{4\pi\epsilon_0} \frac{\vec{r}_q - \vec{r}_s}{|\vec{r}_q - \vec{r}_s|^3} \quad \text{mit } \vec{r}_q = d \hat{e}_x, \vec{r}_s = -d \hat{e}_x$$

$$= -\frac{q^2}{4\pi\epsilon_0} \frac{2d}{\sqrt{2^2 d^2}} \hat{e}_x = -\frac{q^2}{4\pi\epsilon_0} \hat{e}_x \quad +2$$

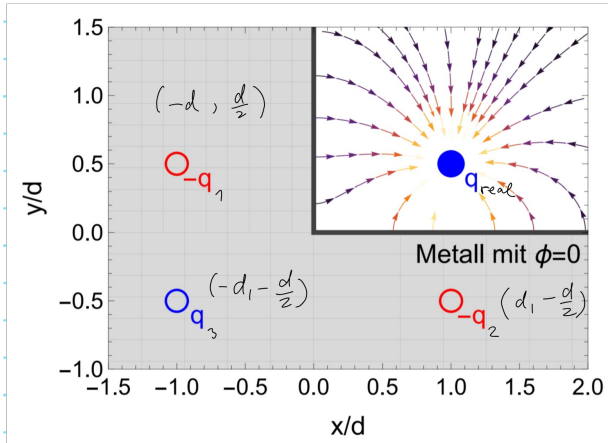
Übertragfehler -1

RF -1

37 P / 40 P

$$(4) \quad \vec{r}_q = d \hat{x} + \left(\frac{d}{2}\right) \hat{y} \quad \vec{r}_{\text{sg}} = -\left(d \hat{x} + \left(\frac{d}{2}\right) \hat{y}\right)$$

Dirichlet-Randbedingung: $\phi(\vec{r})|_{x=0} = 0 = \phi(\vec{r})|_{y=0}$



$$\begin{aligned} \phi_{\text{real}} &= \frac{1}{4\pi\epsilon_0} \frac{q}{\sqrt{(x-d)^2 + (y-\frac{d}{2})^2 + z^2}} \\ \phi_1 &= \frac{1}{4\pi\epsilon_0} \frac{-q}{\sqrt{(x+d)^2 + (y+\frac{d}{2})^2 + z^2}} \\ \phi_2 &= \frac{1}{4\pi\epsilon_0} \frac{-q}{\sqrt{(x+d)^2 + (y-\frac{d}{2})^2 + z^2}} \\ \phi_3 &= \frac{1}{4\pi\epsilon_0} \frac{q}{\sqrt{(x-d)^2 + (y+\frac{d}{2})^2 + z^2}} \end{aligned}$$

Superposition der einzelnen Potentiale ergibt:

$$\phi_{\text{ges}} = \frac{q}{4\pi\epsilon_0} \left[\frac{1}{\sqrt{(x-d)^2 + (y-\frac{d}{2})^2 + z^2}} + \frac{1}{\sqrt{(x+d)^2 + (y+\frac{d}{2})^2 + z^2}} - \frac{1}{\sqrt{(x-d)^2 + (y+\frac{d}{2})^2 + z^2}} - \frac{1}{\sqrt{(x+d)^2 + (y-\frac{d}{2})^2 + z^2}} \right]$$

$$\phi_{\text{ges}}(x=0, y, z) = \frac{q}{4\pi\epsilon_0} \left[\frac{1}{\sqrt{d^2 + (y-\frac{d}{2})^2 + z^2}} + \frac{1}{\sqrt{d^2 + (y+\frac{d}{2})^2 + z^2}} - \frac{1}{\sqrt{d^2 + (y+\frac{d}{2})^2 + z^2}} - \frac{1}{\sqrt{d^2 + (y-\frac{d}{2})^2 + z^2}} \right]$$

$$= 0 + 2$$

$$\phi_{\text{ges}}(x, y=0, z) = \frac{q}{4\pi\epsilon_0} \left[\frac{1}{\sqrt{(x-d)^2 + (\frac{d}{2})^2 + z^2}} + \frac{1}{\sqrt{(x+d)^2 + (\frac{d}{2})^2 + z^2}} - \frac{1}{\sqrt{(x-d)^2 + (\frac{d}{2})^2 + z^2}} - \frac{1}{\sqrt{(x+d)^2 + (\frac{d}{2})^2 + z^2}} \right]$$

$$= 0 + 2$$

\Rightarrow Die Superposition der Potentiale der Real- und Bildlädchen erfüllt das Randwertproblem.

$$b) - = -\vec{\nabla}\phi = \partial_x\phi \hat{e}_x + \partial_y\phi \hat{e}_y + \partial_z\phi \hat{e}_z + 1$$

$$\partial_x\phi = \frac{q}{4\pi\epsilon_0} \left[-\frac{(x-d)}{\sqrt{(x-d)^2 + (y-\frac{d}{2})^2 + z^2}}^3 + \frac{(x+d)}{\sqrt{(x+d)^2 + (y-\frac{d}{2})^2 + z^2}}^3 \right. \\ \left. + \frac{(x-d)}{\sqrt{(x-d)^2 + (y+\frac{d}{2})^2 + z^2}}^3 - \frac{(x+d)}{\sqrt{(x+d)^2 + (y+\frac{d}{2})^2 + z^2}}^3 \right]$$

$$\partial_y\phi = \frac{q}{4\pi\epsilon_0} \left[-\frac{(y-\frac{d}{2})}{\sqrt{(x-d)^2 + (y-\frac{d}{2})^2 + z^2}}^3 + \frac{(y-\frac{d}{2})}{\sqrt{(x+d)^2 + (y-\frac{d}{2})^2 + z^2}}^3 \right. \\ \left. + \frac{(y+\frac{d}{2})}{\sqrt{(x-d)^2 + (y+\frac{d}{2})^2 + z^2}}^3 - \frac{(y+\frac{d}{2})}{\sqrt{(x+d)^2 + (y+\frac{d}{2})^2 + z^2}}^3 \right]$$

$$\partial_z\phi = \frac{q}{4\pi\epsilon_0} \left[-\frac{z}{\sqrt{(x-d)^2 + (y-\frac{d}{2})^2 + z^2}}^3 + \frac{z}{\sqrt{(x+d)^2 + (y-\frac{d}{2})^2 + z^2}}^3 \right. \\ \left. + \frac{z}{\sqrt{(x-d)^2 + (y+\frac{d}{2})^2 + z^2}}^3 - \frac{z}{\sqrt{(x+d)^2 + (y+\frac{d}{2})^2 + z^2}}^3 \right]$$

$$\Rightarrow \vec{E}(\vec{r}) = \frac{q}{4\pi\epsilon_0} \left[\left(\frac{(x-d)}{\sqrt{(x-d)^2 + (y-\frac{d}{2})^2 + z^2}}^3 - \frac{(x+d)}{\sqrt{(x+d)^2 + (y-\frac{d}{2})^2 + z^2}}^3 \right. \right. \\ \left. \left. - \frac{(x-d)}{\sqrt{(x-d)^2 + (y+\frac{d}{2})^2 + z^2}}^3 + \frac{(x+d)}{\sqrt{(x+d)^2 + (y+\frac{d}{2})^2 + z^2}}^3 \right) \hat{e}_x \right] - 1 \quad VZF$$

$$+ \left(\frac{(y-\frac{d}{2})}{\sqrt{(x-d)^2 + (y-\frac{d}{2})^2 + z^2}}^3 - \frac{(y-\frac{d}{2})}{\sqrt{(x+d)^2 + (y-\frac{d}{2})^2 + z^2}}^3 \right.$$

$$+ \left(\frac{q}{\pi} \right) + \frac{(y + \frac{q}{\pi})}{\sqrt{(x-d)^2 + (y+\frac{q}{\pi})^2 + z^2}} \hat{e}_y + 1$$

$$+ \left(\frac{z}{\sqrt{(x-d)^2 + (y-\frac{q}{\pi})^2 + z^2}} - \frac{z}{\sqrt{(x+d)^2 + (y-\frac{q}{\pi})^2 + z^2}} \right)$$

$$- \frac{z}{\sqrt{(-d)^2 + (y+\frac{q}{\pi})^2 + z^2}} + \frac{z}{\sqrt{(x+d)^2 + (y+\frac{q}{\pi})^2 + z^2}} \hat{e}_z \Big] + 1$$

Tue dir und mir bitte einen Gefallen und schreibe das in Zukunft kompakter als Vektor. Das ist so unübersichtlich, dass ich für Minuten nach den VZF suchen muss...

c) $\lim_{x \rightarrow 0^+} \vec{E}(\vec{r}) = \frac{q}{4\pi\epsilon_0} \left(\frac{-d}{\sqrt{d^2 + (y-\frac{q}{\pi})^2 + z^2}} - \frac{d}{\sqrt{d^2 + (y+\frac{q}{\pi})^2 + z^2}} \right)$

$$+ \frac{d}{\sqrt{d^2 + (y+\frac{q}{\pi})^2 + z^2}} + \frac{d}{\sqrt{d^2 + (y-\frac{q}{\pi})^2 + z^2}} \hat{e}_x + 0\hat{e}_y + 0\hat{e}_z$$

$$= \frac{q}{2\pi\epsilon_0} \left(\frac{d}{\sqrt{d^2 + (y+\frac{q}{\pi})^2 + z^2}} - \frac{d}{\sqrt{d^2 + (y-\frac{q}{\pi})^2 + z^2}} \right) \hat{e}_x$$

$$\lim_{y \rightarrow 0^+} \vec{E}(\vec{r}) = \frac{q}{4\pi\epsilon_0} \left(\frac{d}{\sqrt{(x-d)^2 + \frac{d^2}{4} + z^2}} - \frac{d}{\sqrt{(x-d)^2 + \frac{d^2}{4} + z^2}} \right) \hat{e}_y$$

vgl. 3g): $d_1(y, z) = \epsilon_0 \lim_{x \rightarrow 0^+} \vec{E}(\vec{r}) \hat{e}_x \Theta(y) = \frac{q}{2\pi} \left(\frac{d}{\sqrt{d^2 + (y+\frac{q}{\pi})^2 + z^2}} - \frac{d}{\sqrt{d^2 + (y-\frac{q}{\pi})^2 + z^2}} \right) \Theta(y) + 4$

$$d_2(y, z) = \epsilon_0 \lim_{y \rightarrow 0^+} \vec{E}(\vec{r}) \hat{e}_y \Theta(x) = \frac{q}{4\pi} \left(\frac{d}{\sqrt{(x-d)^2 + \frac{d^2}{4} + z^2}} - \frac{d}{\sqrt{(x-d)^2 + \frac{d^2}{4} + z^2}} \right) \Theta(x) + 4$$

| Plots im Anhang! +4

mit der Heaviside-Funktion
weil die Oberflächen nur im positiven x- bzw. y-Bereich sind

$$d) \quad \rho(\vec{r}) = \frac{q}{2\pi} \left(\frac{d}{\sqrt{d^2 + (y + \frac{d}{2})^2 + z^2}} - \frac{d}{\sqrt{d^2 + (y - \frac{d}{2})^2 + z^2}} \right) \theta(y) \delta(x)$$

$$+ \frac{q}{4\pi} \left(\frac{d}{\sqrt{(x-d)^2 + \frac{d^2}{4} + z^2}} - \frac{d}{\sqrt{(x+d)^2 + \frac{d^2}{4} + z^2}} \right) \theta(x) \delta(y)$$

$$\phi_{sys} = \int_{R^3} \rho(r) d^3r = \int_{-\infty}^{\infty} \int_{-\infty}^{\infty} \frac{q}{2\pi} \left(\frac{d}{\sqrt{d^2 + (y + \frac{d}{2})^2 + z^2}} - \frac{d}{\sqrt{d^2 + (y - \frac{d}{2})^2 + z^2}} \right) \theta(y) dy dz$$

$$+ \int_{-\infty}^{\infty} \int_{-\infty}^{\infty} \frac{q}{4\pi} \left(\frac{d}{\sqrt{(x+d)^2 + \frac{d^2}{4} + z^2}} - \frac{d}{\sqrt{(x-d)^2 + \frac{d^2}{4} + z^2}} \right) \theta(x) dx dz$$

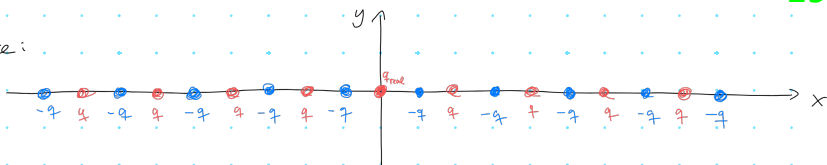
$$= q \int_{-\infty}^{\infty} \int_0^{\infty} \frac{1}{2\pi} \left(\frac{d}{\sqrt{d^2 + (y + \frac{d}{2})^2 + z^2}} - \frac{d}{\sqrt{d^2 + (y - \frac{d}{2})^2 + z^2}} \right) dy dz$$

$$+ \int_{-\infty}^{\infty} \int_0^{\infty} \frac{1}{4\pi} \left(\frac{d}{\sqrt{(x+d)^2 + \frac{d^2}{4} + z^2}} - \frac{d}{\sqrt{(x-d)^2 + \frac{d^2}{4} + z^2}} \right) dx dz$$

Berechnung in Mathematica siehe Anhang! +0

19 P / 20 P

(5) Skizze:



Das Potential ϕ_{sys} ergibt sich als Superposition des Potentials des realen Ladung q und der Spiegelladungen:

$$\phi_{sys}(r) = \frac{1}{4\pi\epsilon_0} \left[\frac{q}{|r|} + \sum_{i=1}^{\infty} \frac{q(-1)^i}{\sqrt{(x-2id)^2 + y^2 + z^2}} + \sum_{i=1}^{\infty} \frac{q(-1)^i}{\sqrt{(x+2id)^2 + y^2 + z^2}} \right]$$

$$= \frac{1}{4\pi\epsilon_0} \left[\frac{q}{\sqrt{x^2 + y^2 + z^2}} + \sum_{i=1}^{\infty} \frac{q(-1)^i}{\sqrt{(x-2id)^2 + y^2 + z^2}} + \sum_{i=1}^{\infty} \frac{q(-1)^i}{\sqrt{(x+2id)^2 + y^2 + z^2}} \right]$$

$$\text{Poisson-Gleichung: } \vec{\nabla}^2 \phi = -\frac{\rho(\vec{r})}{\epsilon_0}, \quad \rho(\vec{r}) = q \cdot \delta(x) \delta(y) \delta(z)$$

$$\phi_{\text{sys}} = \phi_n + \phi_p = \frac{1}{4\pi\epsilon_0} \frac{q}{\sqrt{x^2+y^2+z^2}} + \frac{1}{4\pi\epsilon_0} \sum_{i=1}^{\infty} \frac{q(-1)^i}{\sqrt{(x-2id)^2+y^2+z^2}} + \frac{q(-1)^i}{\sqrt{(x+2id)^2+y^2+z^2}}$$

$$0 = \vec{\nabla}^2 \phi_h = \frac{q}{4\pi\epsilon_0} \left[2x \left(\sum_{i=1}^{\infty} -\frac{(-1)^i (x-2id)}{\sqrt{(x-2id)^2+y^2+z^2}} - \frac{(-1)^i (x+2id)}{\sqrt{(x+2id)^2+y^2+z^2}} \right) \right.$$

$$+ \partial_y \left(\sum_{i=1}^{\infty} \frac{-(-1)^i y}{\sqrt{(x-2id)^2+y^2+z^2}} - \frac{(-1)^i y}{\sqrt{(x+2id)^2+y^2+z^2}} \right)$$

$$+ \partial_z \left(\sum_{i=1}^{\infty} \frac{-(-1)^i z}{\sqrt{(x-2id)^2+y^2+z^2}} - \frac{(-1)^i z}{\sqrt{(x+2id)^2+y^2+z^2}} \right) \right]$$

$$= \frac{q}{4\pi\epsilon_0} \left[\sum_{i=1}^{\infty} \left(\frac{3(-1)^i (x-2id)^2}{\sqrt{(x-2id)^2+y^2+z^2}} - \frac{(-1)^i}{\sqrt{(x-2id)^2+y^2+z^2}} + \frac{3(-1)^i (x+2id)^2}{\sqrt{(x+2id)^2+y^2+z^2}} \right. \right.$$

$$- \frac{(-1)^i}{\sqrt{(x+2id)^2+y^2+z^2}} \right) + \sum_{i=1}^{\infty} \left(\frac{3(-1)^i y^2}{\sqrt{(x-2id)^2+y^2+z^2}} - \frac{(-1)^i}{\sqrt{(x-2id)^2+y^2+z^2}} \right.$$

$$+ \frac{3(-1)^i y^2}{\sqrt{(x+2id)^2+y^2+z^2}} - \frac{(-1)^i}{\sqrt{(x+2id)^2+y^2+z^2}} \right)$$

$$+ \sum_{i=1}^{\infty} \left(\frac{3(-1)^i z^2}{\sqrt{(x-2id)^2+y^2+z^2}} - \frac{(-1)^i}{\sqrt{(x-2id)^2+y^2+z^2}} \right.$$

$$+ \frac{3(-1)^i z^2}{\sqrt{(x+2id)^2+y^2+z^2}} - \frac{(-1)^i}{\sqrt{(x+2id)^2+y^2+z^2}} \right]$$

$$= \frac{q}{4\pi\epsilon_0} \left[\sum_{i=1}^{\infty} \left(\frac{3(-1)^i ((x-2id)^2+y^2+z^2)}{\sqrt{(x-2id)^2+y^2+z^2}} + \frac{3(-1)^i ((x+2id)^2+y^2+z^2)}{\sqrt{(x+2id)^2+y^2+z^2}} \right. \right.$$

$$\left. \left. - \frac{3(-1)^i}{\sqrt{(x-2id)^2+y^2+z^2}} - \frac{3(-1)^i}{\sqrt{(x+2id)^2+y^2+z^2}} \right) \right] = 0 \quad \checkmark +1$$

Integration über Kugel mit $r \rightarrow \infty$ mit Mittelpunkt im Ursprung:

$$-\frac{\rho(\vec{r})}{\epsilon_0} = \vec{\nabla}^2 \phi_p \Rightarrow \frac{1}{\epsilon_0} \int_V \rho(r) d^3r = \frac{q}{\epsilon_0} = - \int_V \vec{\nabla}^2 \phi_p d^3r = - \int_{\partial V} \vec{\nabla} \phi_p \cdot d\vec{f} = \int_{\partial V} E_A d\vec{f}$$

E -Feld einer Punktladung im Ursprung

$$\Rightarrow \frac{q}{\epsilon_0} = \int_{\partial V} \frac{1}{4\pi r^2} \frac{q}{r^2} d\vec{f} = \frac{4\pi r^2}{4\pi \epsilon_0} \frac{q}{r^2} = \frac{q}{\epsilon_0}$$

$$\Rightarrow \phi_p = \phi_e + \phi_h = \frac{1}{4\pi \epsilon_0} \frac{q}{\sqrt{x^2+y^2+z^2}} + \frac{1}{4\pi \epsilon_0} \sum_{i=1}^{\infty} \frac{q(-1)^i}{\sqrt{(x-2id)^2+y^2+z^2}} + \frac{q(-1)^i}{\sqrt{(x+2id)^2+y^2+z^2}}$$

Lost die Poisson-Gleichung:

$$\text{Dirichlet-Randbed.: } \phi_{gh}(\vec{r}) \Big|_{x=-d} = \phi_{gh}(\vec{r}) \Big|_{x=d} = 0$$

$$\begin{aligned} \phi_{gh}(x=-d, y, z) &= \frac{1}{4\pi \epsilon_0} \frac{q}{\sqrt{d^2+y^2+z^2}} + \frac{1}{4\pi \epsilon_0} \sum_{i=1}^{\infty} \frac{q(-1)^i}{\sqrt{(-d-2id)^2+y^2+z^2}} \\ &+ \frac{q(-1)^i}{\sqrt{(-d+2id)^2+y^2+z^2}} = \frac{1}{4\pi \epsilon_0} \frac{q}{\sqrt{d^2+y^2+z^2}} - \frac{1}{4\pi \epsilon_0} \frac{q}{\sqrt{d^2+y^2+z^2}} \\ &+ \frac{1}{4\pi \epsilon_0} \sum_{i=1}^{\infty} \frac{(-1)^i q}{\sqrt{(d+2id)^2+y^2+z^2}} - \frac{(-1)^i}{\sqrt{(2(i+1)d-d)^2+y^2+z^2}} = 0 \quad +2 \end{aligned}$$

$$\begin{aligned} \phi_{gh}(x=d, y, z) &= \frac{1}{4\pi \epsilon_0} \frac{q}{\sqrt{d^2+y^2+z^2}} + \frac{1}{4\pi \epsilon_0} \sum_{i=1}^{\infty} \frac{q(-1)^i}{\sqrt{(d-2id)^2+y^2+z^2}} \\ &+ \frac{q(-1)^i}{\sqrt{(d+2id)^2+y^2+z^2}} = \frac{1}{4\pi \epsilon_0} \frac{q}{\sqrt{d^2+y^2+z^2}} - \frac{1}{4\pi \epsilon_0} \frac{q}{\sqrt{d^2+y^2+z^2}} \\ &+ \frac{1}{4\pi \epsilon_0} \sum_{i=1}^{\infty} \frac{-q(-1)^i}{\sqrt{(d-2(i+1)d)^2+y^2+z^2}} + \frac{q(-1)^i}{\sqrt{(d+2id)^2+y^2+z^2}} \\ &= \frac{1}{4\pi \epsilon_0} \sum_{i=1}^{\infty} \frac{q(-1)^i}{\sqrt{(d+2id)^2+y^2+z^2}} - \frac{q(-1)^i}{\sqrt{(-d+2id)^2+y^2+z^2}} = 0 \quad +2 \end{aligned}$$

Aufgabe 2e)

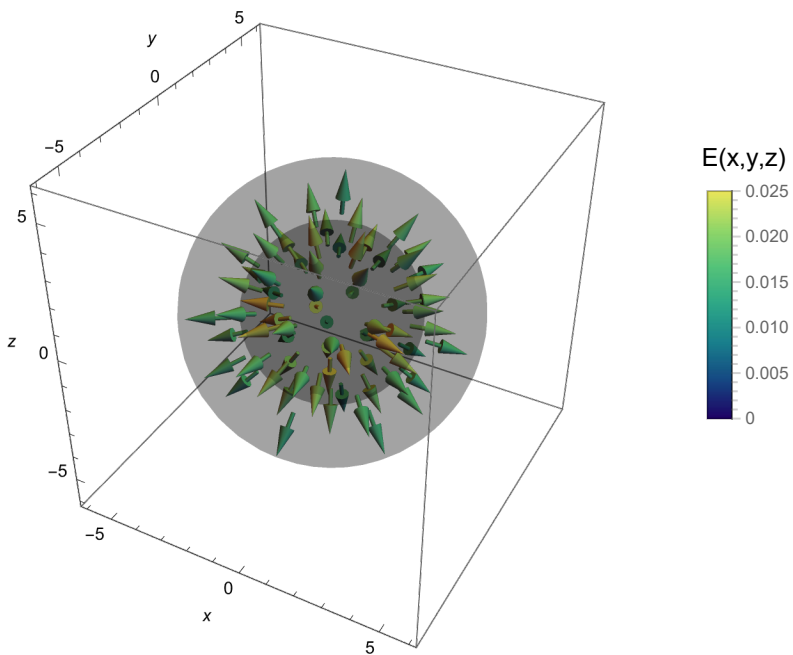
```
In[68]:= eps0 = 1;
Q1 = 1;
R1 = 3;
R2 = 5
efield[r_, θ_, φ_] :=
  1 / (4 * Pi * eps0) Q1 / r * HeavisideTheta[r - R1] * HeavisideTheta[R2 - r] {1, 0, 0}
plotE = TransformedField["Spherical" → "Cartesian", efield[r, θ, φ], {r, θ, φ} → {x, y, z}];
Show[VectorPlot3D[plotE, {x, -5, 5}, {y, -5, 5}, {z, -5, 5}, AxesLabel → {x, y, z},
  PlotRange → All, PlotLegends → BarLegend[Automatic, LegendLabel → "E(x,y,z)"],
  PlotLabel → "E-Feld Kugelkondensator",
  VectorColorFunction → "BlueGreenYellow", VectorMarkers → "End"],
  Graphics3D[{Black, Opacity[0.2], Sphere[{0, 0, 0}, R1], Boxed → False}],
  Graphics3D[{Black, Opacity[0.2], Sphere[{0, 0, 0}, R2], Boxed → False}]]
ϕ[r_] := Piecewise[{{Q1 / (4 Pi eps0) (1 / R1 - 1 / R2), r ≤ R1},
  {Q1 / (4 Pi eps0) (1 / r - 1 / R2), R1 < r < R2}, {0, r ≥ R2}}]
Plot[ϕ[r], {r, 0, 10}, PlotRange → {0, All}, PlotLabel → "Potential ϕ(r)",
  AxesLabel → {"r", "ϕ(r)"}, PlotStyle → Thick, GridLines → Automatic]
```

Out[71]=

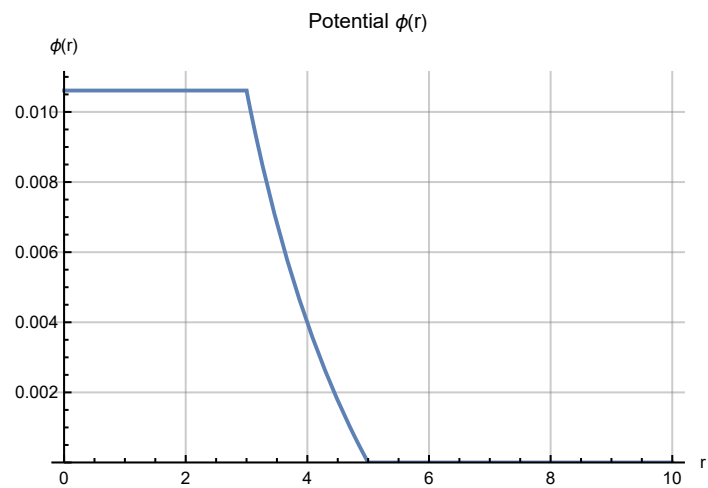
5

Out[74]=

E-Feld Kugelkondensator



Out[76]=





Aufgabe 3 f)

In[1157]:=

q := -1

d := 1

e0 := 1

```

e[x_, y_, z_] := q / (4 * e0 * Pi) * HeavisideTheta[x] *
{ (x - d) / ((x - d)^2 + y^2 + z^2)^(3/2) - (x + d) / ((x + d)^2 + y^2 + z^2)^(3/2)
,
y / ((x - d)^2 + y^2 + z^2)^(3/2) - y / ((x + d)^2 + y^2 + z^2)^(3/2)
,
z / ((x - d)^2 + y^2 + z^2)^(3/2) - z / ((x + d)^2 + y^2 + z^2)^(3/2) }

```

```

 $\phi[x_, y_, z_] :=$ 
 $-q / (4 * \text{Pi} * \epsilon_0) * (1 / ((x - d)^2 + y^2 + z^2)^{0.5} - 1 / ((x + d)^2 + y^2 + z^2)^{0.5}) *$ 
 $\text{HeavisideTheta}[x]$ 

```

```

Show[VectorPlot3D[e[x, y, z], {x, -2, 2},
{y, -2, 2}, {z, -2, 2}, AxesLabel -> {"x/d", "y/d", "z/d"}, 
PlotLegends -> BarLegend[Automatic, LegendLabel -> "\vec{E}(x,y,z)"], 
VectorColorFunction -> "BlueGreenYellow", PlotLabel -> "E-Feld"], 
Graphics3D[{Black, Opacity[0.5], Cuboid[{-2, -2, -2}, {0, 2, 2}]}]]

```

```

Show[ContourPlot3D[\phi[x, y, z], {x, -2, 2}, {y, -2, 2}, {z, -2, 0}, 
PlotLegends -> BarLegend[Automatic, LegendLabel -> "\phi(x,y,z)"], 
Contours -> {0, 0.05, 0.1, 0.15, 0.2, 0.25, 0.3, 0.4, 0.45, 0.5, 0.7}, 
AxesLabel -> {"x/d", "y/d", "z/d"}, PlotLabel -> 
"Äquipotentialflächen des Potentials", ColorFunction -> "BlueGreenYellow"], 
Graphics3D[{Black, Opacity[0.5], Cuboid[{-2, -2, -2}, {0, 2, 2}]}]]

```

```
e[x_, y_, z_] := q / (4 * \epsilon_0 * \text{Pi}) *
```

```

{(x - d) / ((x - d)^2 + y^2 + z^2)^{3/2} - (x + d) / ((x + d)^2 + y^2 + z^2)^{3/2}
,
y / ((x - d)^2 + y^2 + z^2)^{3/2} - y / ((x + d)^2 + y^2 + z^2)^{3/2}
,
z / ((x - d)^2 + y^2 + z^2)^{3/2} - z / ((x + d)^2 + y^2 + z^2)^{3/2}}

```

```

 $\phi[x_, y_, z_] :=$ 
 $-q / (4 * \text{Pi} * \epsilon_0) * (1 / ((x - d)^2 + y^2 + z^2)^{0.5} - 1 / ((x + d)^2 + y^2 + z^2)^{0.5})$ 

```

```

Show[VectorPlot3D[e[x, y, z], {x, -2, 2},
{y, -2, 2}, {z, -2, 2}, AxesLabel -> {"x/d", "y/d", "z/d"}, 
PlotLegends -> BarLegend[Automatic, LegendLabel -> "\vec{E}(x,y,z)"], 
VectorColorFunction -> "BlueGreenYellow",
PlotLabel -> "E-Feld mit realer Spiegelladung"], 
Graphics3D[{Black, Opacity[0.5], Cuboid[{-2, -2, -2}, {0, 2, 2}]}]]

```

```

Show[ContourPlot3D[\phi[x, y, z], {x, -2, 2}, {y, -2, 2}, {z, -2, 0}, 
PlotLegends -> BarLegend[Automatic, LegendLabel -> "\phi(x,y,z)"], 
Contours -> {-0.7, -0.5, -0.45, -0.4, -0.3, -0.2, -0.1, 0, 0.1, 
0.2, 0.3, 0.4, 0.45, 0.5, 0.7}, AxesLabel -> {"x/d", "y/d", "z/d"}],

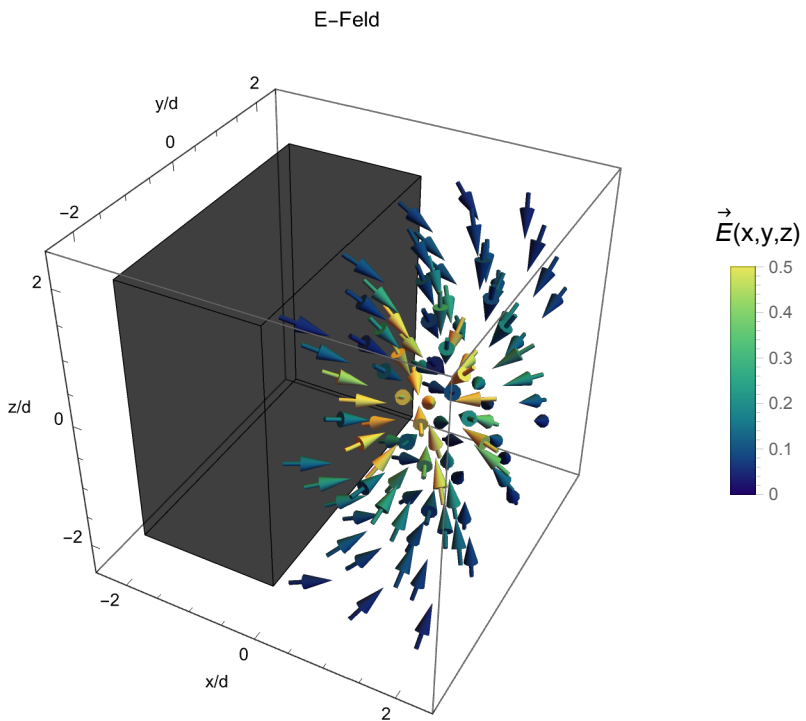
```

```

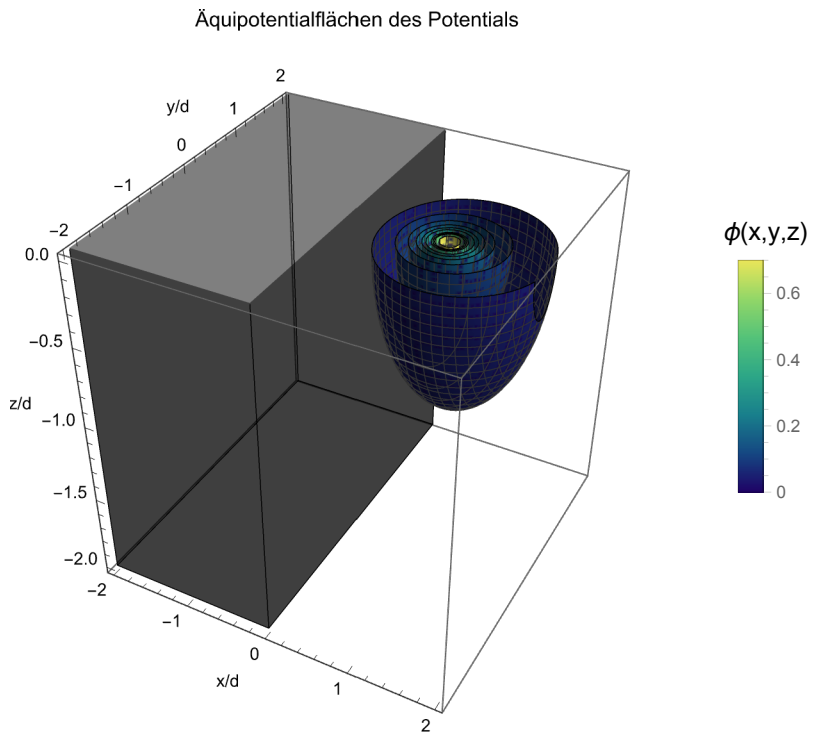
PlotLabel -> "Äquipotentialflächen des Potentials mit realer Spiegelladung",
ColorFunction -> "BlueGreenYellow"],
Graphics3D[{Black, Opacity[0.5], Cuboid[{-2, -2, -2}, {0, 2, 2}]}]]

```

Out[1162]=

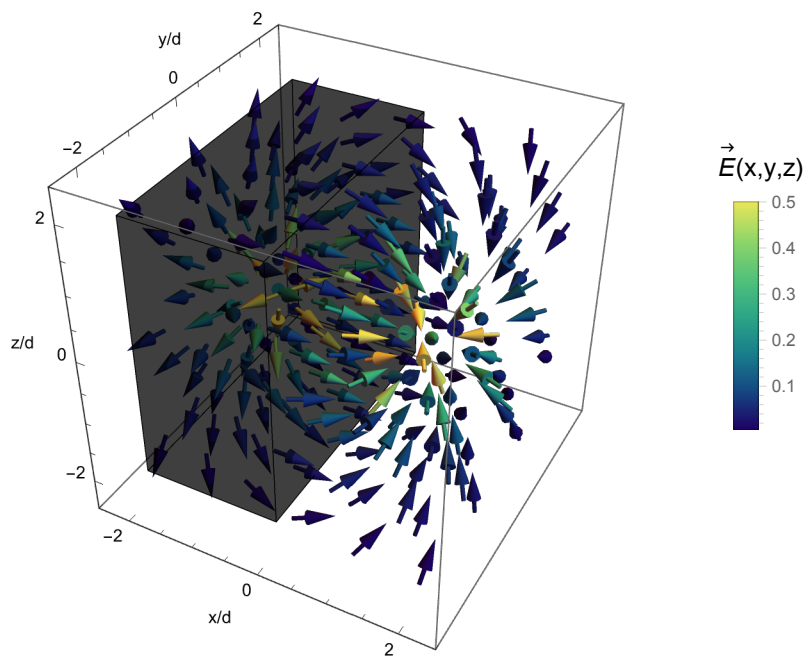


Out[1163]=



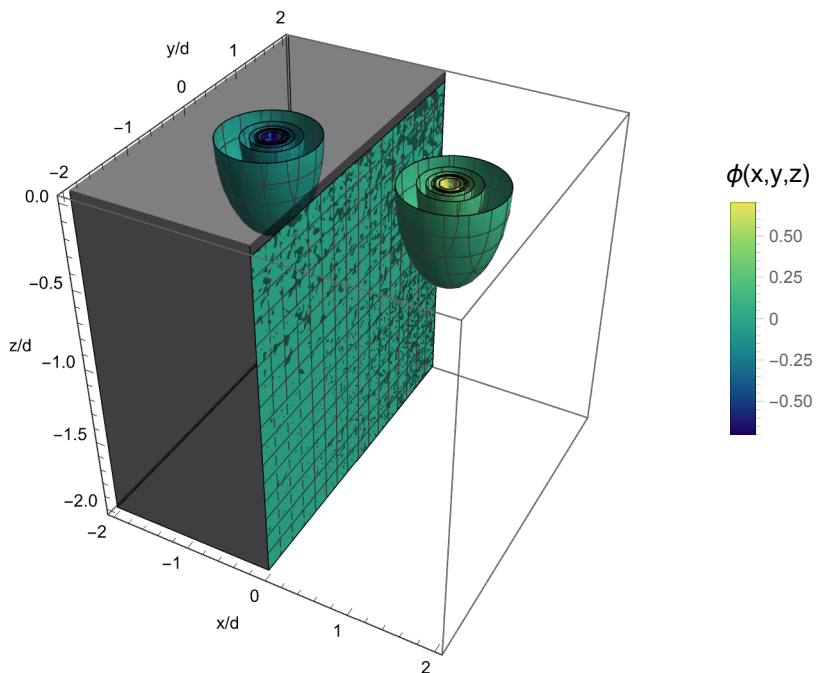
Out[1166]=

E-Feld mit realer Spiegelladung



Out[1167]=

Äquipotentialflächen des Potentials mit realer Spiegelladung



Aufgabe 3 g)

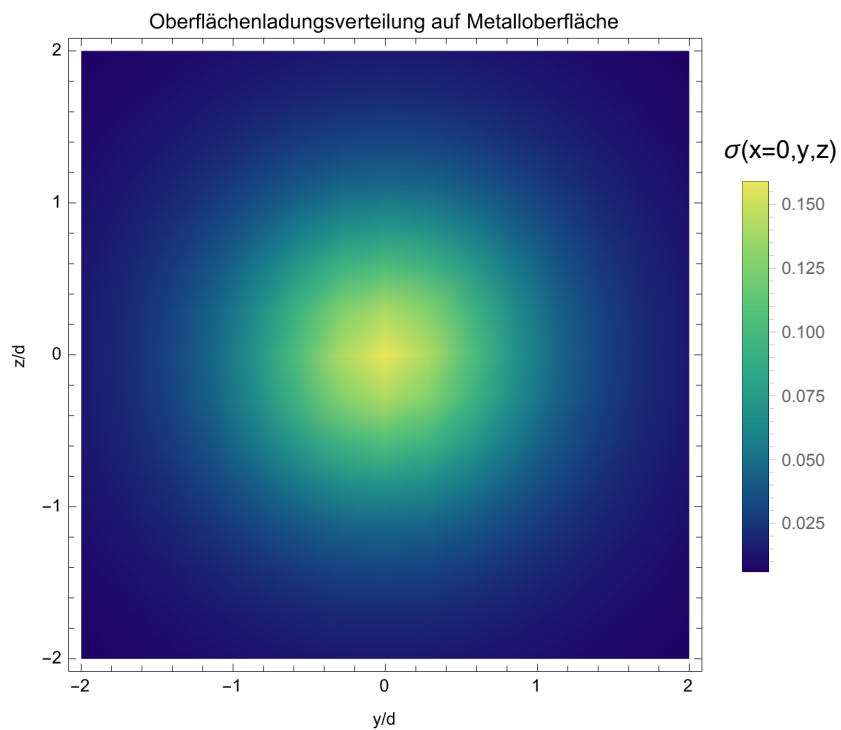
In[1172]:=

```
d := 1
q := -1
```

$$\sigma[y_, z_] := -q / (2 * \text{Pi}) * d / (d^2 + y^2 + z^2)^{(3/2)}$$

```
DensityPlot[\sigma[y, z], {y, -2, 2}, {z, -2, 2}, FrameLabel \rightarrow {"y/d", "z/d"}, PlotLabel \rightarrow "Oberflächenladungsverteilung auf Metalloberfläche", PlotLegends \rightarrow BarLegend[Automatic, LegendLabel \rightarrow "\sigma(x=0,y,z)"], ColorFunction \rightarrow "BlueGreenYellow"]
```

Out[1175]=



Aufgabe 4 c)

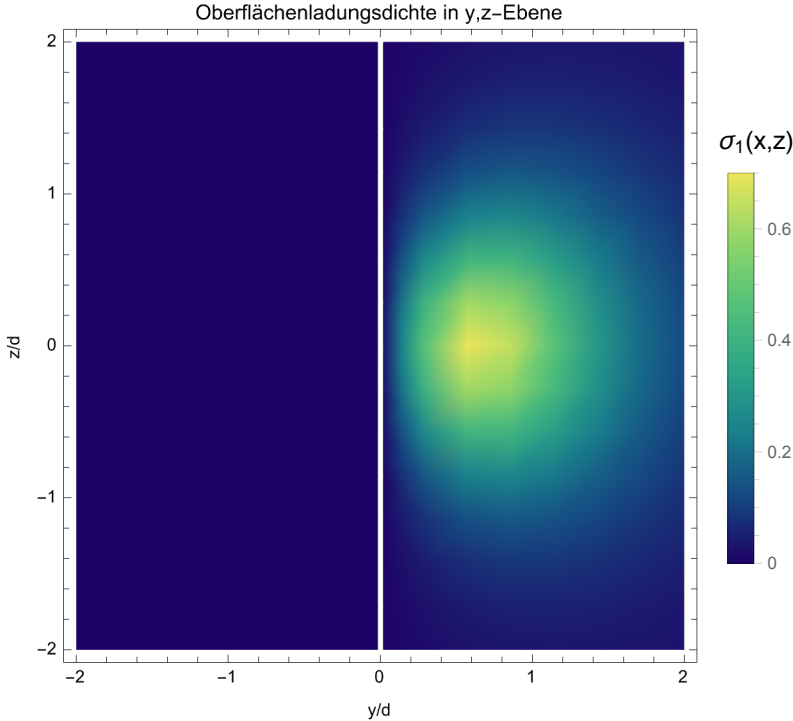
```
In[1606]:=  $\epsilon_0 := 1$ 
 $q := -1$ 
 $d := 1$ 

 $\sigma_1[y_, z_] := q / (2 * \text{Pi}) * \text{HeavisideTheta}[y] *$ 
 $(d / (d^2 + (y + d / 2)^2 + z^2)^{3/2} - d / (d^2 + (y - d / 2)^2 + z^2)^{3/2})$ 
 $\sigma_2[x_, z_] :=$ 
 $q / (4 * \text{Pi}) * \text{HeavisideTheta}[x] * (d / ((x + d)^2 + (d^2 / 4 + z^2)^{3/2}) -$ 
 $d / ((x - d)^2 + (d^2 / 4 + z^2)^{3/2})$ 

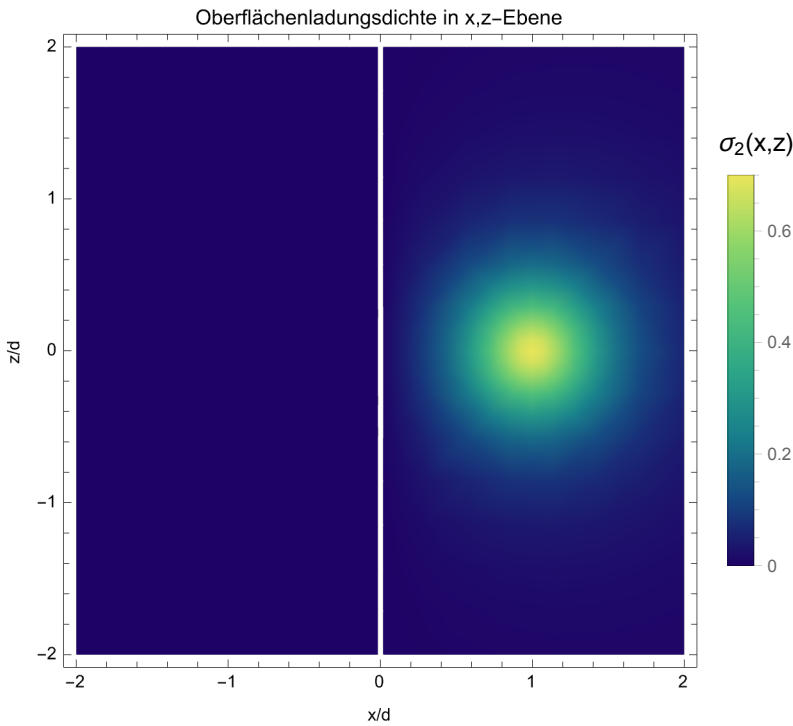
DensityPlot[\sigma1[y, z], {y, -2, 2}, {z, -2, 2}, FrameLabel -> {"y/d", "z/d"}, PlotLabel -> "Oberflächenladungsdichte in y,z-Ebene", PlotLegends -> BarLegend[{Automatic, {0, 0.7}}], LegendLabel -> "\sigma_1(x,z)", ColorFunction -> "BlueGreenYellow", PlotRange -> {Automatic, Automatic, {0, 1}}]

DensityPlot[\sigma2[x, z], {x, -2, 2}, {z, -2, 2}, FrameLabel -> {"x/d", "z/d"}, PlotLabel -> "Oberflächenladungsdichte in x,z-Ebene", PlotLegends -> BarLegend[{Automatic, {0, 0.7}}], LegendLabel -> "\sigma_2(x,z)", ColorFunction -> "BlueGreenYellow", PlotRange -> {Automatic, Automatic, {0, 0.7}}]
```

Out[1611]=



Out[1612]=



Aufgabe 4 d)

In[948]:=

```
d := 1      Das darfst du an der Stelle nicht einfach! Du weißt sonst nie, ob sich die Abhängigkeiten
q := 1      wirklich rauskürzen, oder ob das kommt, weil du die Werte festlegst.
```

In[950]:=

```
int1 = NIntegrate[
  q / (2 Pi) * (d / (d^2 + (y + d / 2)^2 + z^2)^{3/2}) - d / (d^2 + (y - d / 2)^2 + z^2)^{3/2},
  {y, 0, Infinity}, {z, -Infinity, Infinity}]
```

Out[950]=

-0.295167

In[951]:=

```
int2 = NIntegrate[
  q / (4 Pi) (d / ((x + d)^2 + d^2/4 + z^2)^{3/2}) - d / ((x - d)^2 + d^2/4 + z^2)^{3/2},
  {x, 0, Infinity}, {z, -Infinity, Infinity}]
```

Out[951]=

-0.704833

In[952]:=

```
Simplify[int1 + int2]
```

Out[952]=

-1.

-> Q_ges = -q (analytische Integration hat (no joke) 8Stunden gedauert und danach hat sich Mathematica beendet und alles war weg, daher mit NIntegrate :)